

Параметрическая неустойчивость колебаний вихревого
кольца в z-периодическом бозе-конденсате и возврат к
исходному состоянию

В.П. Рубан

Институт теоретической физики им. Л.Д. Ландау РАН

XXVI Научная сессия Совета РАН по нелинейной динамике,
Москва, 18-19 декабря 2017 г.

В.П. Рубан, Письма в ЖЭТФ 106(4), 208-213 (2017).

1. Введение

Динамика квантовой вихревой нити в неоднородном бозе-конденсате (в режиме Томаса-Ферми) приближенно описывается уравнением локальной индукции,

$$\vec{R}_t|_{\text{norm}} = \frac{\Gamma\Lambda}{4\pi} \left(\varkappa \vec{b} + [\vec{\nabla} \ln \rho(\vec{R}) \times \vec{\tau}] \right). \quad (1)$$

$\vec{R}(\beta, t)$ — геометрическая форма нити,

$\rho(\vec{r})$ — равновесный профиль плотности конденсата в отсутствие вихря,

$\Gamma = 2\pi\hbar/m_{\text{atom}}$ — квант циркуляции скорости,

$\Lambda = \ln(R_*/\xi) \approx \text{const}$ — большой логарифм,

\varkappa — локальная кривизна нити,

\vec{b} — единичный вектор бинормали,

$\vec{\tau}$ — единичный касательный вектор.

Мы будем использовать безразмерные единицы: $\Gamma\Lambda/4\pi = 1$, $R_* \sim 1$.

В работе исследуется динамика вихревого кольца на фоне z-периодической плотности

$$\rho(z) = 1 - \epsilon \cos z. \quad (2)$$

2. Вариационная структура уравнений

Уравнения движения для $R(\varphi, t)$ и $Z(\varphi, t)$ в цилиндрических координатах:

$$\rho(Z, R)R\dot{Z} = -\frac{\partial}{\partial\varphi} \frac{\rho(Z, R)R'}{\sqrt{R^2 + R'^2 + Z'^2}} + \frac{\partial\rho(Z, R)}{\partial R} \sqrt{R^2 + R'^2 + Z'^2} + \frac{\rho(Z, R)R}{\sqrt{R^2 + R'^2 + Z'^2}}, \quad (3)$$

$$-\rho(Z, R)R\dot{R} = -\frac{\partial}{\partial\varphi} \frac{\rho(Z, R)Z'}{\sqrt{R^2 + R'^2 + Z'^2}} + \frac{\partial\rho(Z, R)}{\partial Z} \sqrt{R^2 + R'^2 + Z'^2}, \quad (4)$$

Соответствующий лагранжиан имеет вид

$$\mathcal{L} = \int F(Z, R)\dot{Z}d\varphi - \int \rho(Z, R)\sqrt{R^2 + R'^2 + Z'^2}d\varphi. \quad (5)$$

причем для $\rho(z, r) = f(z, r^2/2)$ функция $F(Z, R)$ определяется формулой

$$F(Z, R) = \int_{U(Z)}^{R^2/2} f(Z, u)du, \quad (6)$$

В частности, для $\rho = \rho(z)$ получаем $F = \rho(Z)R^2/2$, а для конденсата в гармонической ловушке удобно взять $F = -(1 - R^2 - \alpha Z^2)^2/4 = -\rho_h^2/4$.

3. Параметрическая неустойчивость

Невозмущенному движению идеально круглого кольца вдоль оси z соответствуют решения вида $R = R_0(t)$ и $Z = Z_0(t)$, причем

$$\dot{Z}_0 = 1/R_0, \quad \dot{R}_0 = -\rho'(Z_0)/\rho(Z_0). \quad (7)$$

Рассмотрим динамику малых отклонений от идеальной формы, положив

$$R = R_0(t) + \sum_{m \geq 1} [R_m e^{im\varphi} + R_m^* e^{-im\varphi}], \quad (8)$$

$$Z = Z_0(t) + \sum_{m \geq 1} [Z_m e^{im\varphi} + Z_m^* e^{-im\varphi}], \quad (9)$$

где $R_m(t)$ и $Z_m(t)$ — малые комплексные коэффициенты Фурье.

Линеаризованная система для них следует из уравнений (3) и (4). С учетом соотношения $d/dt = (1/R_0)d/dZ_0$ и наличия интеграла $R_0\rho(Z_0) = E$ имеем

$$\frac{d}{dZ_0} Z_m = \frac{\rho(Z_0)}{E} [m^2 - 1] R_m, \quad (10)$$

$$-\frac{d}{dZ_0} R_m = \frac{\rho(Z_0)}{E} \left[m^2 + \frac{E^2}{\rho^2(Z_0)} \left(\frac{\rho'(Z_0)}{\rho(Z_0)} \right)' \right] Z_m. \quad (11)$$

Вместо Z_0 вводим новую независимую переменную согласно соотношению $\rho(Z_0)dZ_0 = d\mu$. Тогда

$$\frac{dZ_m}{d\mu} = \frac{1}{E} [m^2 - 1] R_m, \quad (12)$$

$$-\frac{dR_m}{d\mu} = \frac{1}{E} \left[m^2 + \frac{E^2}{f(\mu)} \frac{d^2 f(\mu)}{d\mu^2} \right] Z_m, \quad (13)$$

где функция $f(\mu) = \rho(Z_0(\mu))$ [2π -периодическая зависимость]. После приведения к одному уравнению мы получаем уравнение типа Хилла,

$$\frac{d^2 Z_m}{d\mu^2} + \left[\frac{m^2(m^2 - 1)}{E^2} + (m^2 - 1) \frac{f''(\mu)}{f(\mu)} \right] Z_m = 0, \quad (14)$$

Отсюда следуют условия параметрического резонанса порядка $p = 1, 2, \dots$ в виде $E \approx E_m^{(p)} = 2m\sqrt{m^2 - 1}/p$. Мы сосредоточимся в основном на случае $m = 2, p = 1$. Заметим, что при $\epsilon \ll 1$ мы имеем приближенно $f''(\mu)/f(\mu) \approx \epsilon \cos \mu$, т.е. уравнение Хилла принимает вид уравнения Матье. При этом глубина модуляции коэффициента в уравнении (14) оказывается равной 12ϵ . Пространственный инкремент неустойчивости при точном резонансе $\gamma^{(z)} \approx (3/2)\epsilon$. Это соответствует росту амплитуды за один период модуляции плотности в $\exp(3\pi\epsilon)$ раз.

4. Численное моделирование

Чтобы исследовать нелинейную стадию развития параметрической неустойчивости, решения системы (3)-(4) при $\rho = 1 - \epsilon \cos z$ с различными начальными условиями находились численно псевдоспектральным методом с использованием процедуры Рунге-Кутты 4-го порядка для продвижения по времени. Динамику резонансных мод удобно представлять в терминах “медленных” комплекснозначных функций

$$A_c = +2[\operatorname{Re}(R_2) - i(2/\sqrt{3})\operatorname{Re}(Z_2)] \exp(iZ_0/2), \quad (15)$$

$$A_s = -2[\operatorname{Im}(R_2) - i(2/\sqrt{3})\operatorname{Im}(Z_2)] \exp(iZ_0/2). \quad (16)$$

Отметим, что A_c и A_s являются комплексными огибающими амплитуд стоячих мод $\cos 2\varphi$ и $\sin 2\varphi$ соответственно, тогда как $A_{\pm} = (A_c \mp iA_s)/2$ соответствуют разложению эллиптических возмущений вихревого кольца по бегущим модам $\exp(\pm 2i\varphi)$.

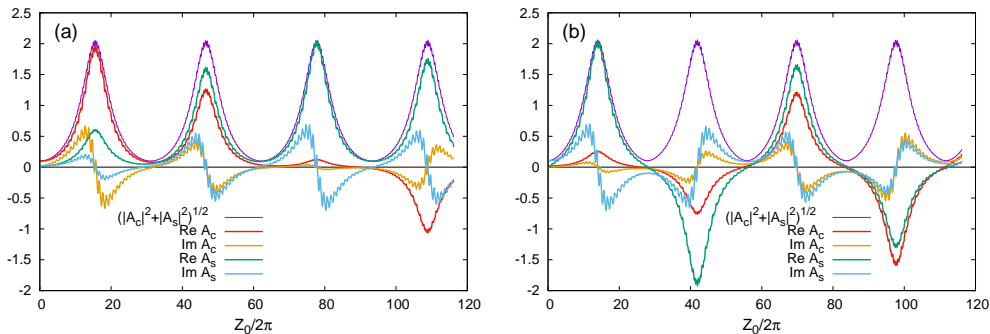


Рис.: Рис.1. Два примера развития параметрической неустойчивости вихревого кольца и его возврата к слабовозбужденному состоянию при $\epsilon = 0.03$. Остаточные осцилляции на кривых вызваны присутствием старших гармоник, что типично для параметрически неустойчивых колебаний. Начальные условия в случае (а): $R(0) = 4\sqrt{3} + 0.10 \cos(2\varphi)$, $Z(0) = -0.02(\sqrt{3}/2) \sin(2\varphi)$, что соответствует $A_c(0) = 0.10$, $A_s(0) = 0.02i$; в случае (b): $R(0) = 4\sqrt{3} + 0.02 \cos(2\varphi)$, $Z(0) = -0.10(\sqrt{3}/2) \sin(2\varphi)$, что соответствует $A_c(0) = 0.02$, $A_s(0) = 0.10i$.

На Рис.1 видны периодические синхронные возвраты системы к слабо возбужденному состоянию, чередующиеся с сильно деформированными конфигурациями кольца, причем последние отличаются между собой угловой ориентацией в плоскости (x, y) . Периодичны не каждая огибающая по отдельности, а их комбинация $\sqrt{|A_c|^2 + |A_s|^2}$, не зависящая от отсчета угла. Только при увеличении параметра ϵ до значений $\epsilon \sim 0.1$ регулярное поведение портится (на рисунках не показано).

Такая возвратная динамика типична для автономных интегрируемых систем с небольшим числом степеней свободы. Поэтому имеет смысл вывести упрощенную модель, позволяющую на полуквантовом уровне воспроизвести наблюдаемые в численном эксперименте зависимости. Требуемые уравнения для медленных переменных можно получить путем усреднения лагранжиана системы по (малым) осцилляциям плотности.

5. Объяснение явления возврата

Не останавливаясь на подробностях, приведем эффективный лагранжиан:

$$\begin{aligned} L \approx & S_0 \dot{\chi}_0 + i\dot{b}_+ b_+^* + i\dot{b}_- b_-^* + \frac{\dot{\chi}_0}{2} (|b_+|^2 + |b_-|^2) \\ & - \sqrt{2S_0} - \frac{|m|\sqrt{m^2-1}}{2S_0} (|b_+|^2 + |b_-|^2) + \epsilon \frac{\sqrt{m^2-1}}{4|m|} (b_+ b_- + b_+^* b_-^*) \\ & - T(|b_+|^4 + |b_-|^4) - W|b_+|^2 |b_-|^2, \end{aligned} \quad (17)$$

где $S_0 = [R^2 \rho^2(Z)/2]_0$, $\chi_0 = [\int^Z dz/\rho(z)]_0$, $b_{\pm}(t) = b_{\pm m} \exp(i\chi_0/2)$ — огибающие нормальных комплексных переменных ($m=2$). Здесь мы имеем интегрируемую гамильтонову систему с тремя степенями свободы.

Очевидными интегралами движения, помимо самого гамильтониана, являются

$$S_0 + \frac{1}{2} (|b_+|^2 + |b_-|^2) = I = \text{const}, \quad (18)$$

$$|b_+|^2 - |b_-|^2 = D = \text{const}. \quad (19)$$

Интеграл D выражает сохранение углового момента относительно оси z .

Исключая S_0 , получаем эффективный гамильтониан возмущений в виде

$$\begin{aligned} \tilde{H} &= \sqrt{2I - |b_+|^2 - |b_-|^2} + \frac{m\sqrt{m^2 - 1}(|b_+|^2 + |b_-|^2)}{(2I - |b_+|^2 - |b_-|^2)} \\ &- \epsilon \frac{\sqrt{m^2 - 1}}{4m} (b_+ b_- + b_+^* b_-^*) + T(|b_+|^4 + |b_-|^4) + W|b_+|^2 |b_-|^2. \end{aligned} \quad (20)$$

Условие резонанса — обращение в ноль коэффициента разложения при $(|b_+|^2 + |b_-|^2)$. С учетом (19) выражение (20) сводится к

$$\begin{aligned} \tilde{H}(N, \Phi) &= \sqrt{2I - N} + \frac{m\sqrt{m^2 - 1}N}{(2I - N)} - \epsilon \frac{\sqrt{m^2 - 1}}{4m} \sqrt{N^2 - D^2} \cos(2\Phi) \\ &+ (T/2)(N^2 + D^2) + (W/4)(N^2 - D^2) \end{aligned} \quad (21)$$

в терминах канонически сопряженных переменных $N = |b_+|^2 + |b_-|^2$ и $\Phi = [\arg(b_+) + \arg(b_-)]/2$. Явление возврата при этом соответствует квазизамкнутым фазовым траекториям в комплексной плоскости переменной $S = \sqrt{(|A_+|^2 + |A_-|^2)/2}(A_+ A_-)/|A_+ A_-|$, как показано на Рис.2.

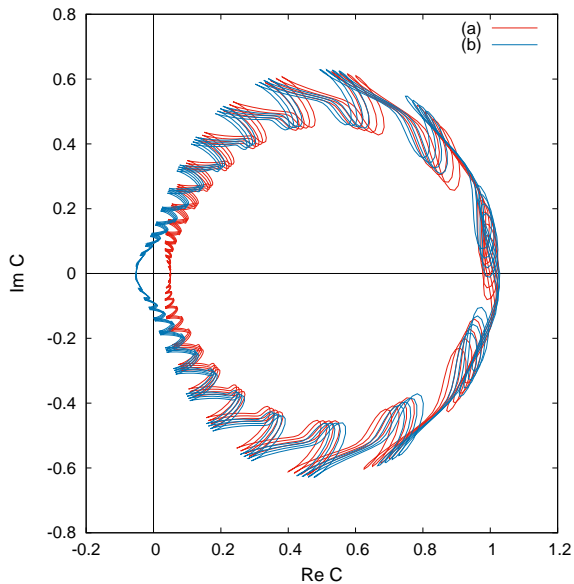


Рис.: Рис.2. Квазизамкнутые фазовые траектории в плоскости C , соответствующие двум численным экспериментам, показанным на рисунке 1.

6. Сравнение с вихревым кольцом в гармонической ловушке

Сравним полученные результаты с параметрическими неустойчивостями вихревого кольца на фоне плотности $\rho_h(z, r) = 1 - r^2 - \alpha z^2$, который характерен для гармонически захваченных бозе-конденсатов в режиме Томаса-Ферми. Фазовая траектория идеального кольца охватывает при этом точку $R_* = 1/\sqrt{3}$, $Z_* = 0$, а квадраты собственных частот малых колебаний даются выражением

$$\omega_m^2 = 9(m^2 - 3)(m^2 - \alpha). \quad (22)$$

Отсюда следует, что в диапазоне $1 < \alpha < 4$ все моды линейно устойчивы. Весьма важно при этом, что в квадратичном гамильтониане

$$\mathcal{H}^{\{2\}} = \sum_m \omega_m |a_m|^2 \quad (23)$$

две первые частоты ω_0 и ω_1 имеют отрицательный знак, тогда как при $|m| \geq 2$ все ω_m положительны. Поэтому при определенных значениях параметра анизотропии α возникают нелинейные резонансы между некоторыми модами, приводящие к параметрическим неустойчивостям.

Например, при условии $\omega_0 \approx 2\omega_1$, имеющем место вблизи $\alpha^{(1)} = 8/5$, происходят нелинейные резонансные процессы, описываемые взаимодействием вида $V^{(1)}(a_0^* a_1 a_{-1} + a_0 a_1^* a_{-1}^*)$, а при $\alpha \approx \alpha^{(2)} = 16/7$, когда $\omega_0 \approx -2\omega_2$, резонансными оказываются процессы, соответствующие взаимодействию $V^{(2)}(a_0 a_2 a_{-2} + a_0^* a_2^* a_{-2}^*)$. В обеих ситуациях слабонелинейная динамика приблизительно описывается интегрируемыми гамильтонианами стандартного вида:

$$\begin{aligned} \mathcal{H}^{(1)} = & (\delta^{(1)} - 2\Omega^{(1)})|a_0|^2 - \Omega^{(1)}(|a_1|^2 + |a_{-1}|^2) \\ & + V^{(1)}(a_0^* a_1 a_{-1} + a_0 a_1^* a_{-1}^*), \end{aligned} \quad (24)$$

$$\begin{aligned} \mathcal{H}^{(2)} = & (\delta^{(2)} - 2\Omega^{(2)})|a_0|^2 + \Omega^{(2)}(|a_2|^2 + |a_{-2}|^2) \\ & + V^{(2)}(a_0 a_2 a_{-2} + a_0^* a_2^* a_{-2}^*), \end{aligned} \quad (25)$$

где $\delta^{(1)}$ и $\delta^{(2)}$ — малые параметры рассогласования частот, а коэффициенты $V^{(1)}$ и $V^{(2)}$ могут быть вычислены путем переписывания $\mathcal{H}^{\{3\}}$ в терминах a_m .

В первом случае имеются дополнительные интегралы движения $|a_0|^2 + |a_1|^2 = s_+$ и $|a_0|^2 + |a_{-1}|^2 = s_-$, так что система остается в слабонелинейном режиме и происходит периодический квази-возврат кольца к почти осесимметричному исходному состоянию, как показано на рисунке 3а.

Во втором случае дополнительные законы сохранения имеют вид $|a_0|^2 - |a_2|^2 = d_+$ и $|a_0|^2 - |a_{-2}|^2 = d_-$, а параметрическая неустойчивость при $d_+ > 0$, $d_- > 0$ носит взрывной характер, как видно из рисунка 3б.

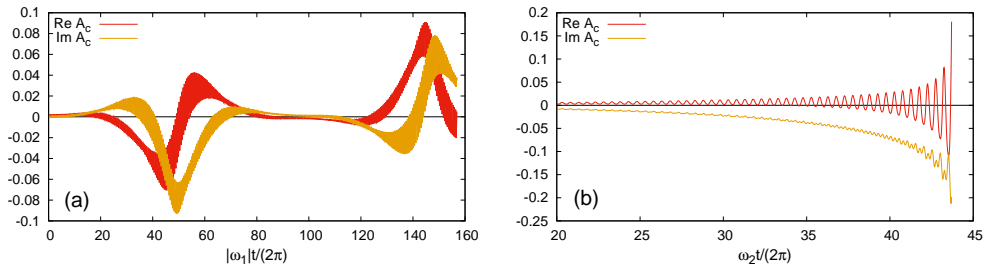


Рис.: Рис.3. Два типа нелинейной стадии параметрической неустойчивости вихревого кольца в конденсате с плотностью $\rho = 1 - r^2 - \alpha z^2$, наблюдаемые в численных экспериментах. Показаны соответствующим образом определенные огибающие неустойчивых мод. Осцилляции кривых обусловлены старшими гармониками. В первом случае $\alpha = 8/5$, $R(0) = 0.88/\sqrt{3} + 0.002 \cos(\varphi)$, $Z(0) = 0$. Во втором случае $\alpha = 16/7$, $R(0) = 0.95/\sqrt{3} + 0.002 \cos(2\varphi)$, $Z(0) = 0$.

7. Заключение

Таким образом, в данной работе впервые предсказаны параметрические неустойчивости колебаний квантового вихревого кольца в пространственно периодическом бозе-конденсате при определенных размерах кольца, а также в конденсате, захваченном гармонической анизотропной ловушкой, — при определенных значениях параметра анизотропии. Во всех случаях численно промоделированы нелинейные стадии неустойчивости. Обнаруженному при этом явлению квази-возврата дано теоретическое объяснение. Такого рода нетривиальное поведение вихревого кольца заслуживает дальнейших исследований в рамках более точных моделей. В частности, весьма желательно воспроизвести параметрическую неустойчивость при не слишком больших Λ непосредственно в численном решении трехмерного уравнения Гросса-Питаевского с периодическим внешним потенциалом, а также и с анизотропным гармоническим потенциалом.